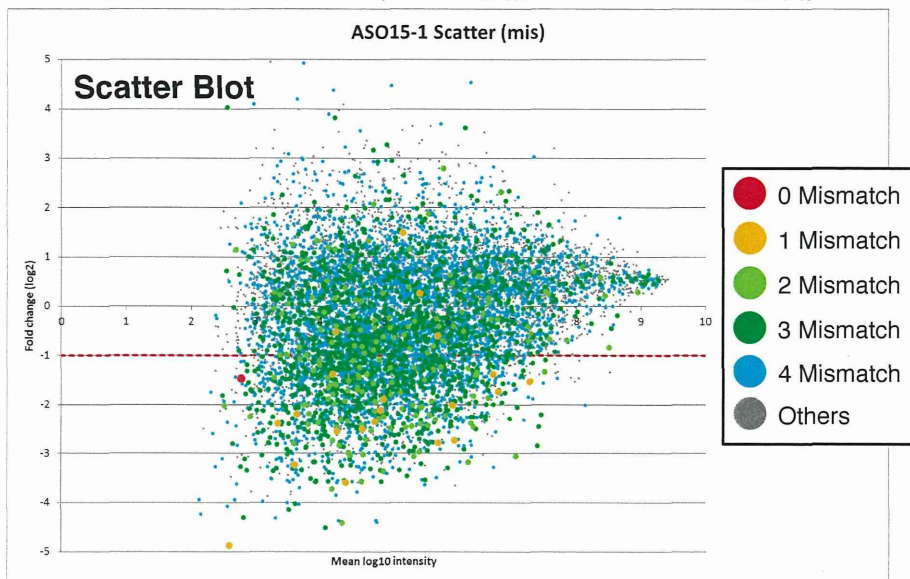
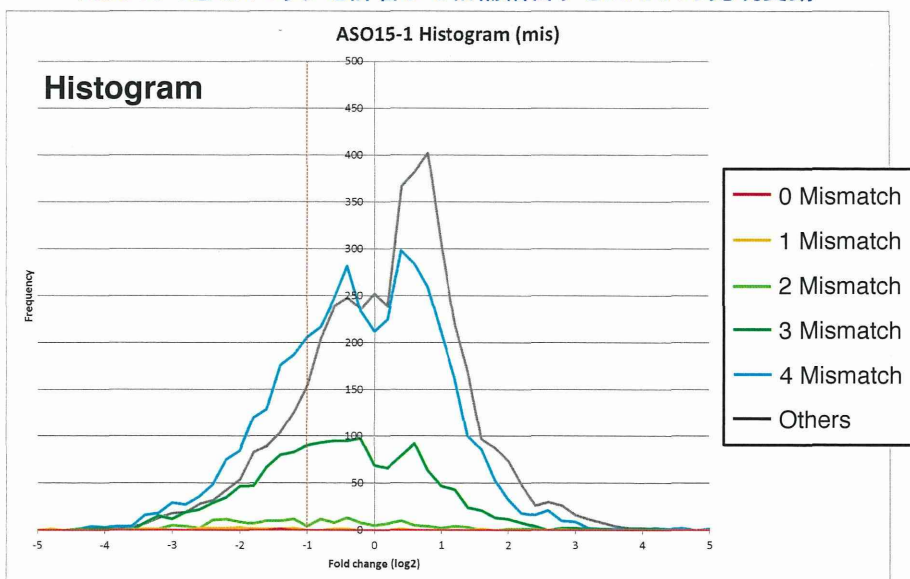


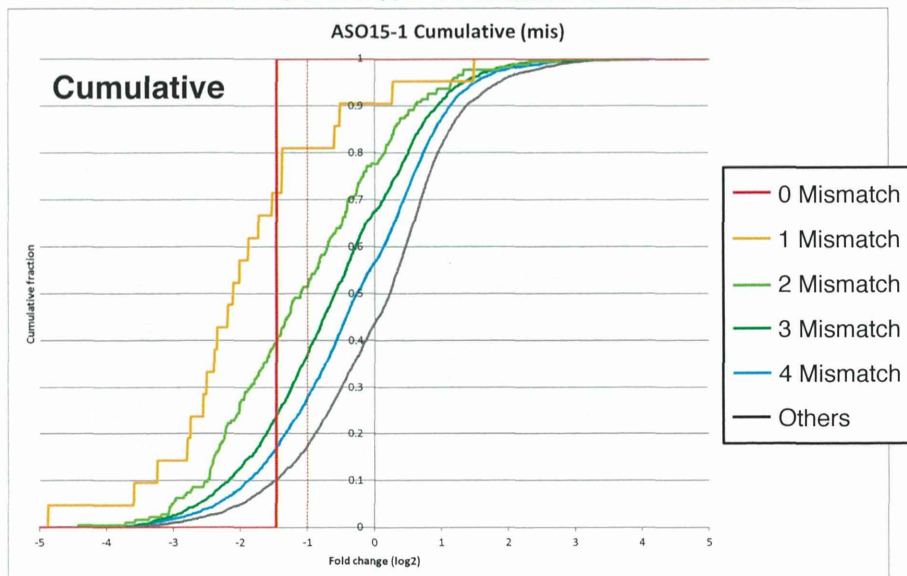
【図表35】 マイクロアレイの解析結果(ヒト細胞)
 - ASO15-1とミスマッチを許容して相補結合するmRNAの発現変動 -



【図表36】 マイクロアレイの解析結果(ヒト細胞)
 - ASO15-1とミスマッチを許容して相補結合するmRNAの発現変動 -



【図表37】 マイクロアレイの解析結果(ヒト細胞)
 - ASO15-1とミスマッチを許容して相補結合するmRNAの発現変動 -

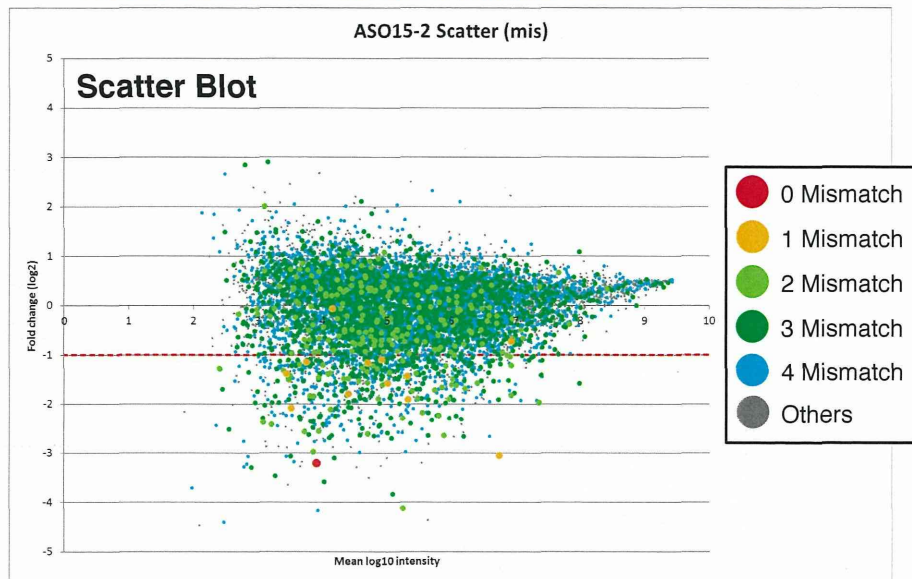


【図表38】 マイクロアレイの解析結果(ヒト細胞)
 - ASO15-2とミスマッチを許容して相補結合するmRNAの発現変動 -

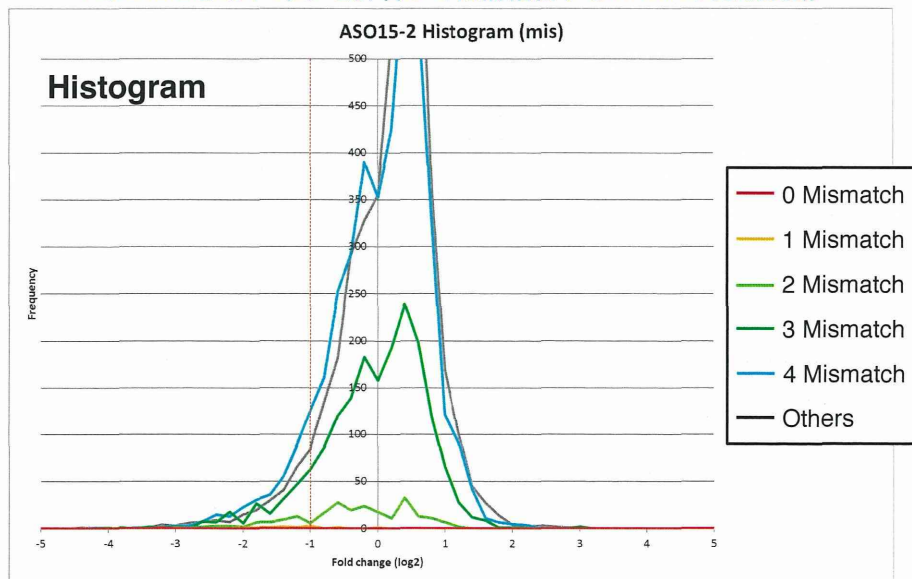
ASO15-2	Mismatch					Other	Total
	0	1	2	3	4		
1. In Silico Analysis	4	33	477	3231	7550	11440	26266
2. On Array	4	27	423	2859	6399	7667	20478
3. Present	1	12	240	1785	4053	4425	12415
4. Varied	1	11	138	947	2189	2447	6769
5. Down Regulated	1	10	52	224	386	285	1193
6. Percentage	100	83.3	21.7	12.6	9.5	6.4	9.6

数値の解釈は図表22と同様である

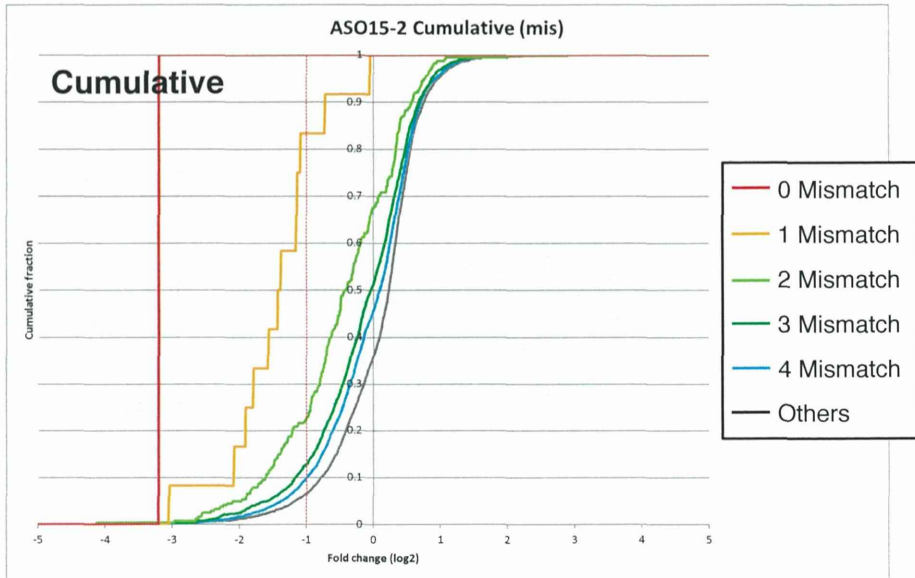
【図表39】 マイクロアレイの解析結果(ヒト細胞)
 - ASO15-2とミスマッチを許容して相補結合するmRNAの発現変動 -



【図表40】 マイクロアレイの解析結果(ヒト細胞)
 - ASO15-2とミスマッチを許容して相補結合するmRNAの発現変動 -



【図表41】 マイクロアレイの解析結果(ヒト細胞)
 - ASO15-2とミスマッチを許容して相補結合するmRNAの発現変動 -

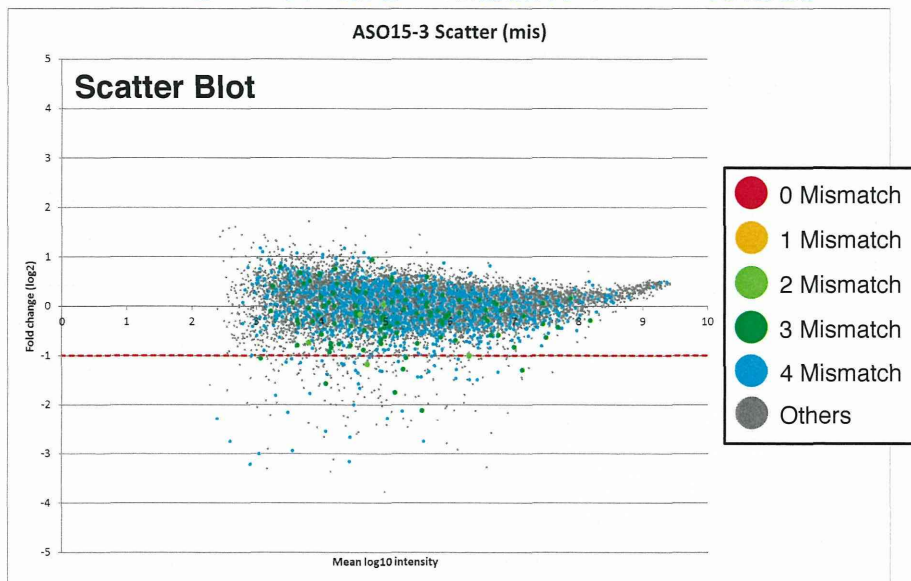


【図表42】 マイクロアレイの解析結果(ヒト細胞)
 - ASO15-3とミスマッチを許容して相補結合するmRNAの発現変動 -

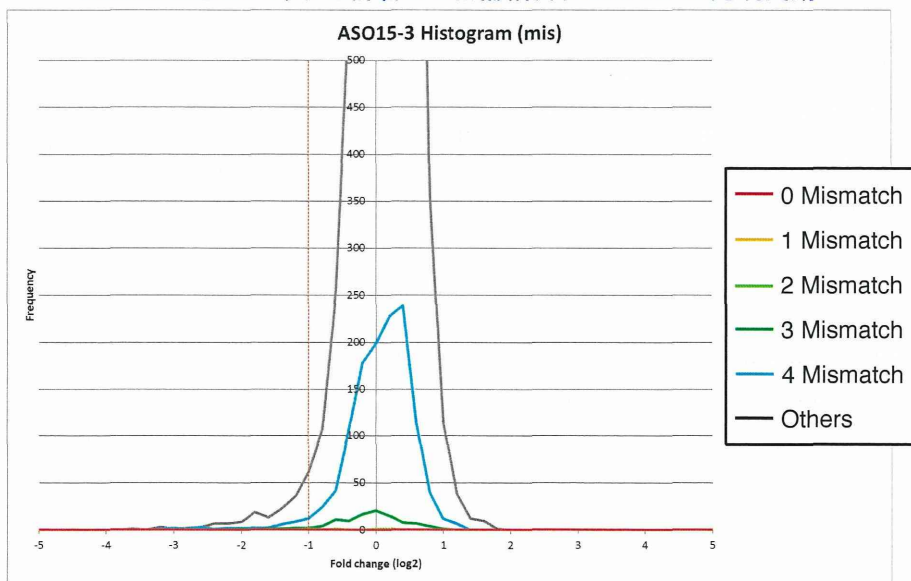
ASO15-3	Mismatch					Other	Total
	0	1	2	3	4		
1. In Silico Analysis	0	0	6	196	2062	23309	26266
2. On Array	0	0	6	150	1842	17848	20478
3. Present	0	0	5	105	1233	10379	12118
4. Varied	0	0	2	34	294	2133	2554
5. Down Regulated	0	0	2	6	43	168	232
6. Percentage	NA	NA	40	5.7	3.5	1.6	1.9

数値の解釈は図表22と同様である

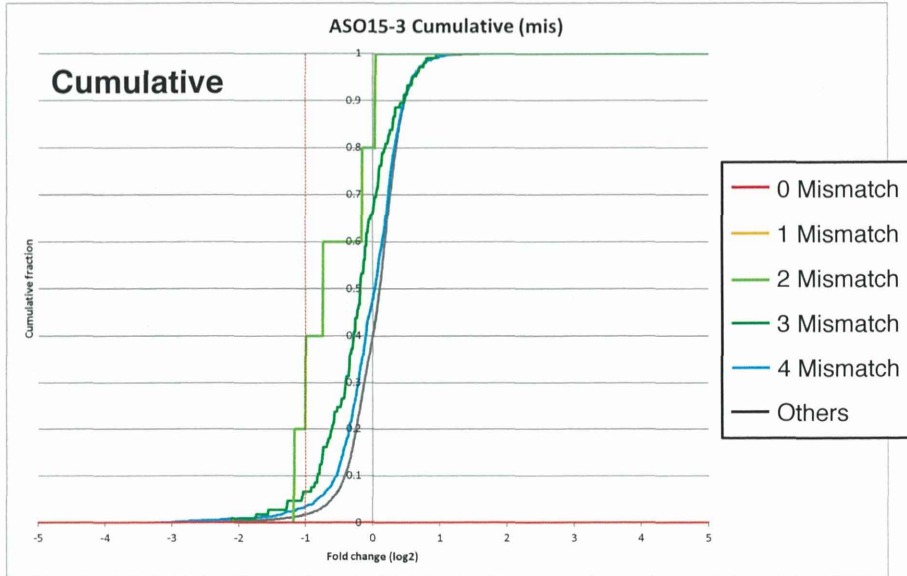
【図表43】 マイクロアレイの解析結果(ヒト細胞)
 - ASO15-3とミスマッチを許容して相補結合するmRNAの発現変動 -



【図表44】 マイクロアレイの解析結果(ヒト細胞)
 - ASO15-3とミスマッチを許容して相補結合するmRNAの発現変動 -



【図表45】 マイクロアレイの解析結果(ヒト細胞)
 - ASO15-3とミスマッチを許容して相補結合するmRNAの発現変動 -

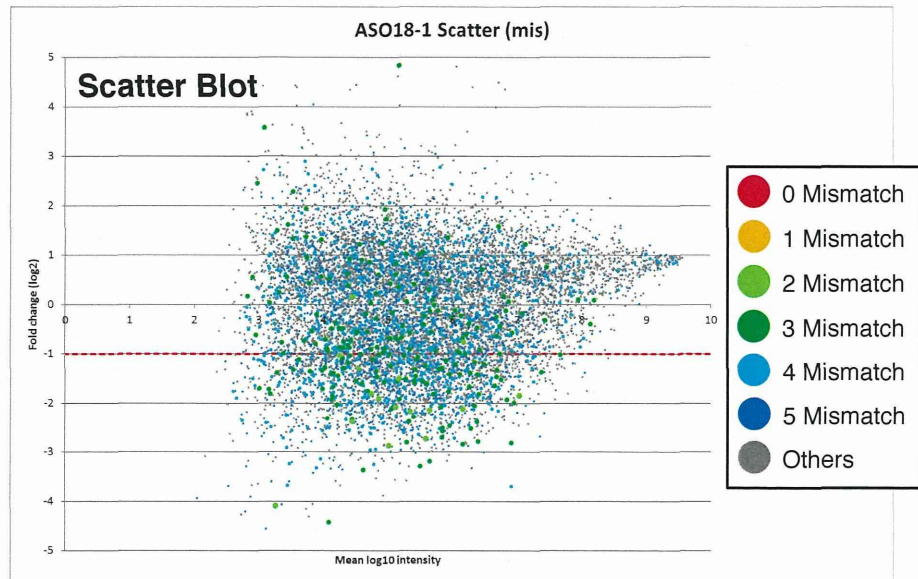


【図表46】 マイクロアレイの解析結果(ヒト細胞)
 - ASO18-1とミスマッチを許容して相補結合するmRNAの発現変動 -

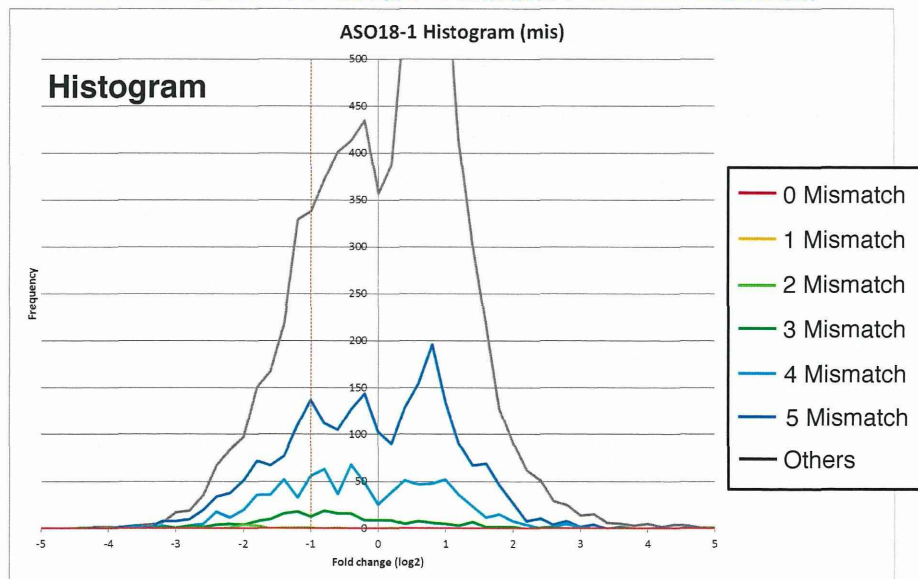
ASO18-1	Mismatch						Other	Total
	0	1	2	3	4	5		
1. In Silico Analysis	0	1	26	361	1435	3949	18582	26266
2. On Array	0	1	24	316	1278	3508	13638	20478
3. Present	0	0	16	209	865	2277	7784	12246
4. Varied	0	0	15	175	684	1791	6108	9660
5. Down Regulated	0	0	14	87	274	637	1522	2901
6. Percentage	NA	NA	87.5	41.6	31.7	28.0	19.6	23.7

数値の解釈は図表22と同様である

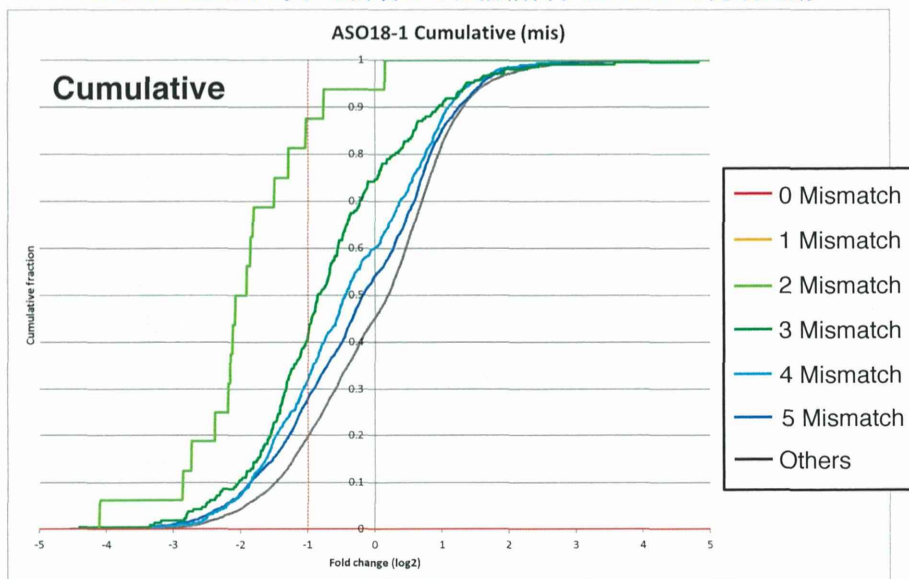
【図表47】 マイクロアレイの解析結果(ヒト細胞)
 - ASO18-1とミスマッチを許容して相補結合するmRNAの発現変動 -



【図表48】 マイクロアレイの解析結果(ヒト細胞)
 - ASO18-1とミスマッチを許容して相補結合するmRNAの発現変動 -



【図表49】 マイクロアレイの解析結果(ヒト細胞)
 - ASO18-1とミスマッチを許容して相補結合するmRNAの発現変動 -

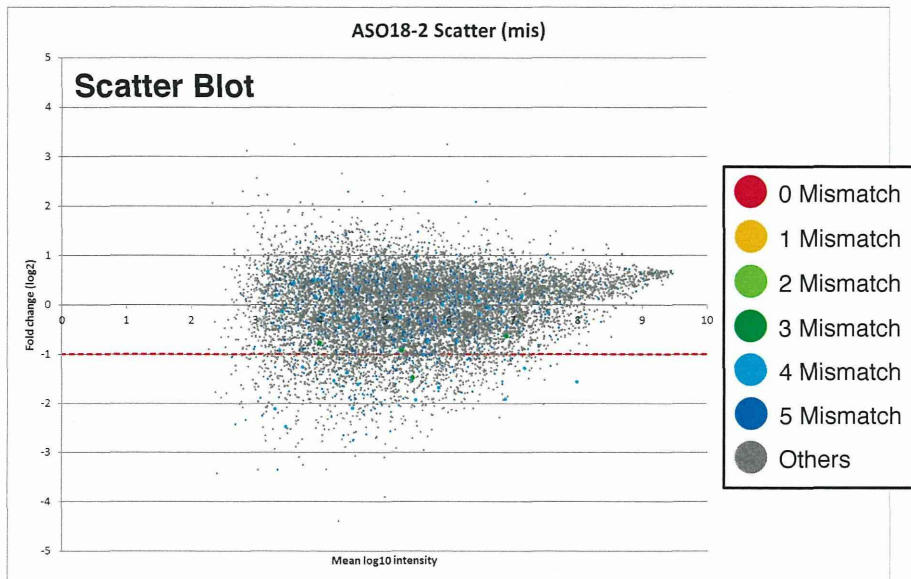


【図表50】 マイクロアレイの解析結果(ヒト細胞)
 - ASO18-2とミスマッチを許容して相補結合するmRNAの発現変動 -

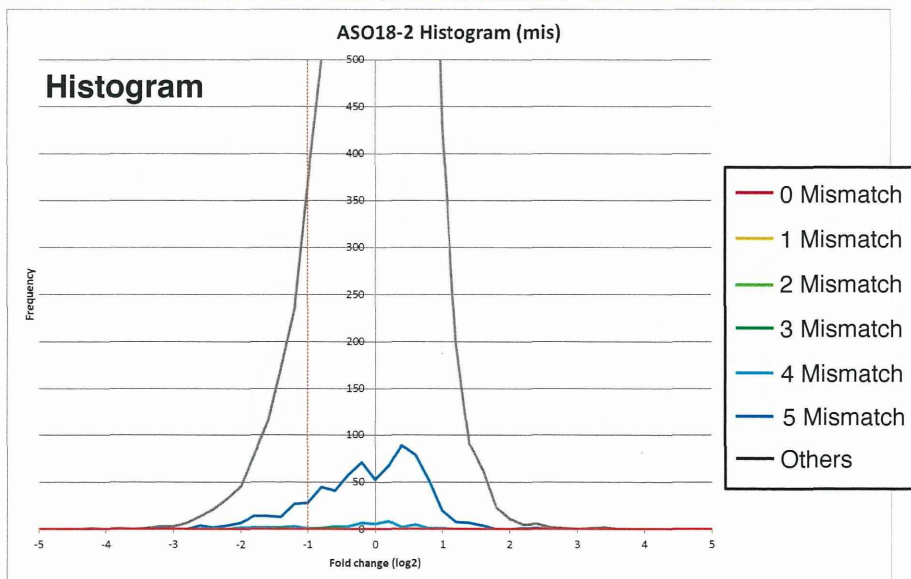
ASO18-2	Mismatch						Other	Total
	0	1	2	3	4	5		
1. In Silico Analysis	0	0	0	9	113	1259	23741	26266
2. On Array	0	0	0	8	97	1114	18265	20478
3. Present	0	0	0	4	51	711	10747	12144
4. Varied	0	0	0	3	26	437	6432	7297
5. Down Regulated	0	0	0	1	13	112	1080	1304
6. Percentage	NA	NA	NA	25	25.5	15.8	10.1	10.7

数値の解釈は図表22と同様である

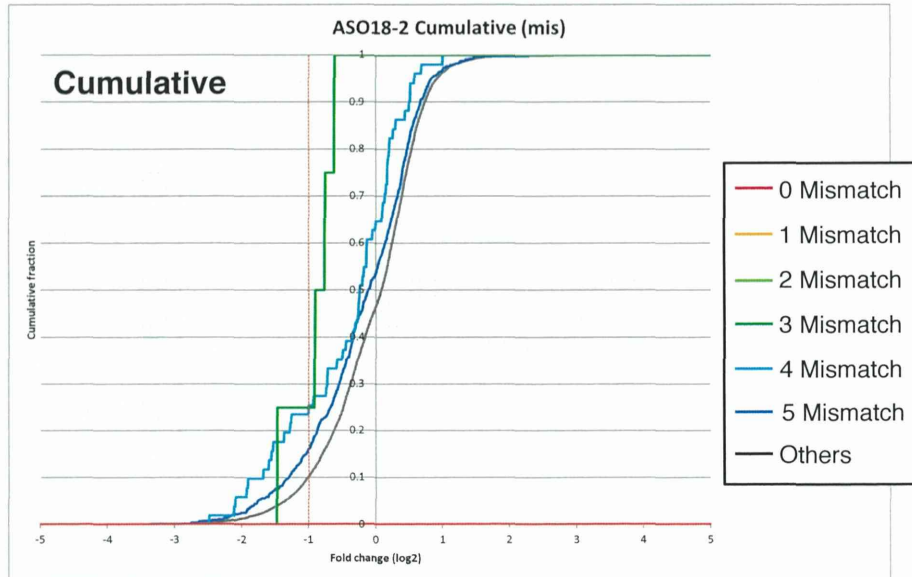
【図表51】 マイクロアレイの解析結果(ヒト細胞)
 - ASO18-2とミスマッチを許容して相補結合するmRNAの発現変動 -



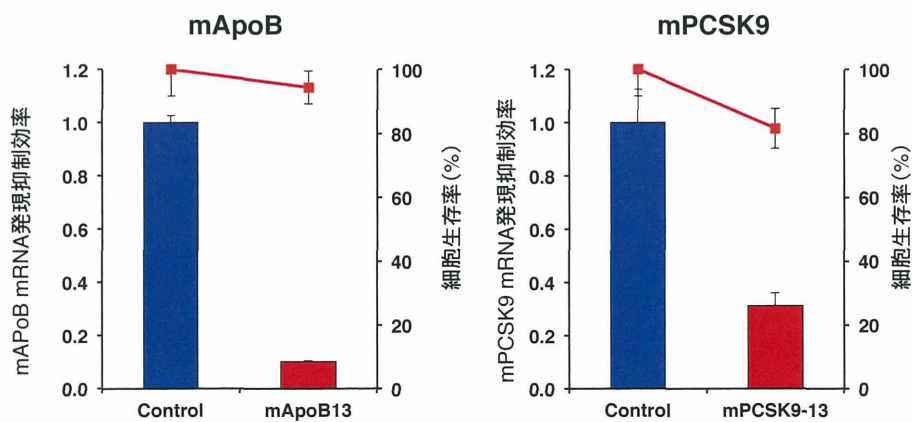
【図表52】 マイクロアレイの解析結果(ヒト細胞)
 - ASO18-2とミスマッチを許容して相補結合するmRNAの発現変動 -



【図表53】 マイクロアレイの解析結果(ヒト細胞)
 - ASO18-2とミスマッチを許容して相補結合するmRNAの発現変動 -



【図表54】 マウス細胞を用いたオフターゲット効果の解析
 -オンターゲット遺伝子の分解効率の確認-



【図表55】

マイクロアレイの解析結果(マウス細胞)

- mApoB-13とミスマッチを許容して相補結合するmRNAの発現変動 -

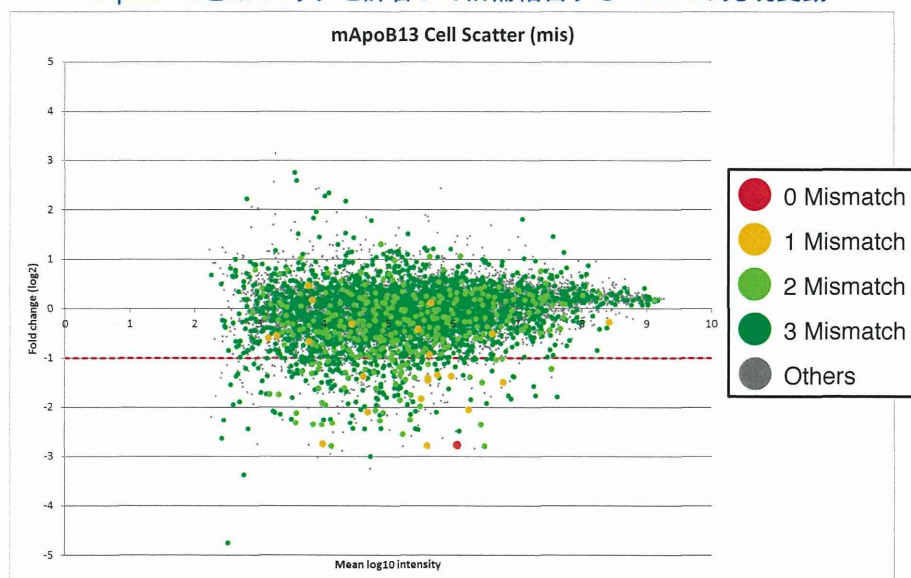
mApoB-13	Mismatch				Other	Total
	0	1	2	3		
1. In Silico Analysis	2	37	650	5535	17367	26721
2. On Array	2	34	551	4402	13652	21089
3. Present	1	22	337	2617	6482	10961
4. Varied	1	16	208	1394	3054	5502
5. Down Regulated	1	11	50	178	222	567
6. Percentage	100	50.0	14.8	6.8	3.4	5.2

数値の解釈は図表22と同様である

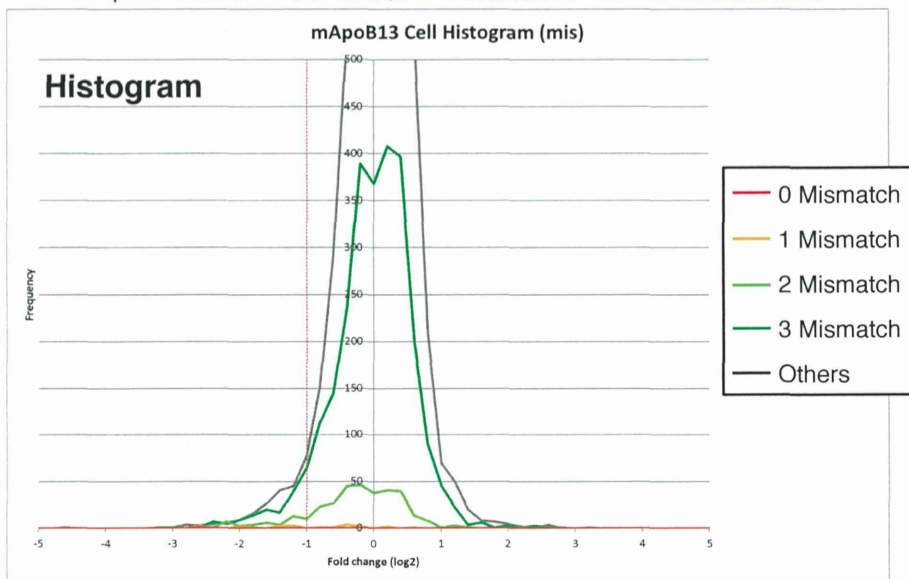
【図表56】

マイクロアレイの解析結果(マウス細胞)

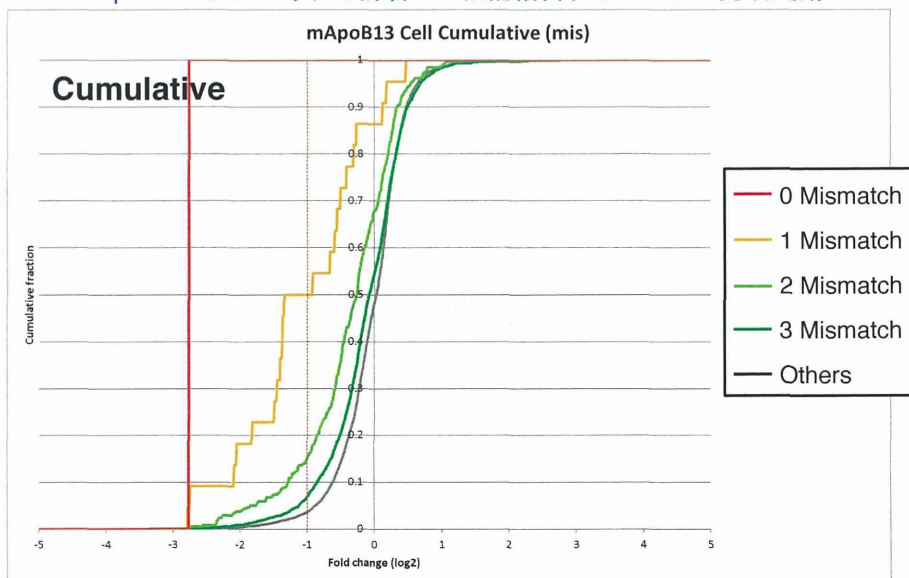
- mApoB-13とミスマッチを許容して相補結合するmRNAの発現変動 -



【図表57】 マイクロアレイの解析結果(マウス細胞)
 - mApoB-13とミスマッチを許容して相補結合するmRNAの発現変動 -



【図表58】 マイクロアレイの解析結果(マウス細胞)
 - mApoB-13とミスマッチを許容して相補結合するmRNAの発現変動 -



【図表59】

マイクロアレイの解析結果(マウス細胞)

- mPCSK9-13とミスマッチを許容して相補結合するmRNAの発現変動 -

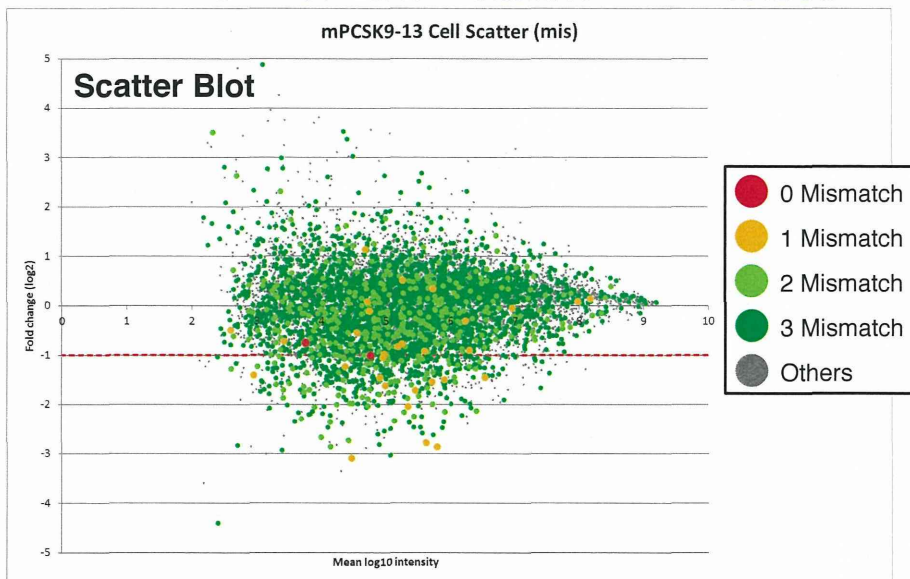
mPCSK9-13	Mismatch				Other	Total
	0	1	2	3		
1. In Silico Analysis	2	54	773	6225	15901	26721
2. On Array	2	48	641	5011	12262	21089
3. Present	2	30	391	3049	5882	11206
4. Varied	2	24	271	2058	3791	7427
5. Down Regulated	1	13	83	318	380	991
6. Percentage	50	43.3	21.2	10.4	6.5	8.8

数値の解釈は図表22と同様である

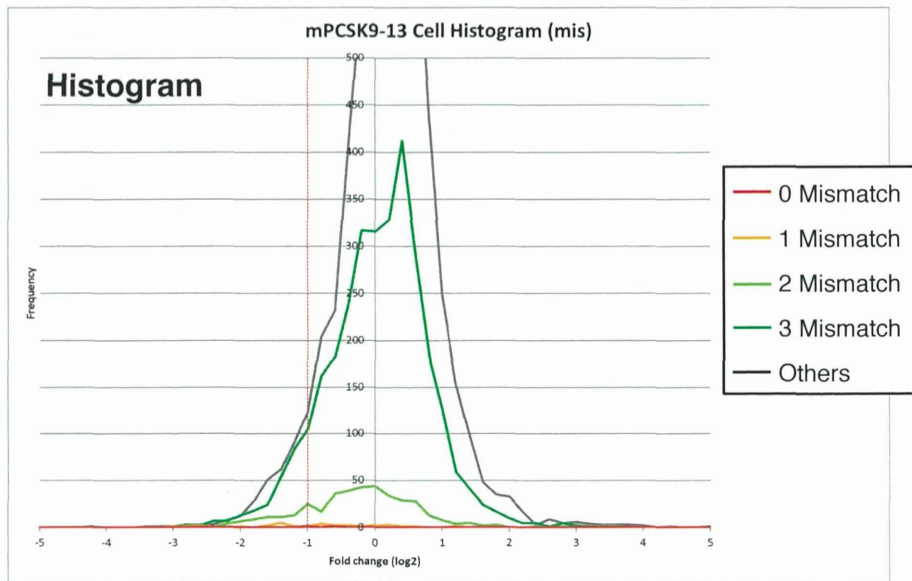
【図表60】

マイクロアレイの解析結果(マウス細胞)

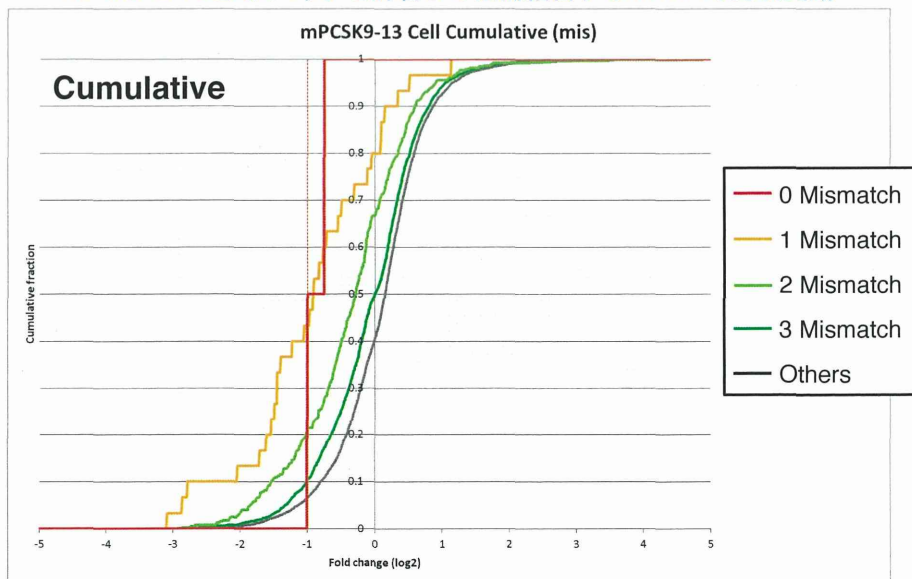
- mPCSK9-13とミスマッチを許容して相補結合するmRNAの発現変動 -



【図表61】 マイクロアレイの解析結果(マウス細胞)
 - mPCSK9-13とミスマッチを許容して相補結合するmRNAの発現変動 -



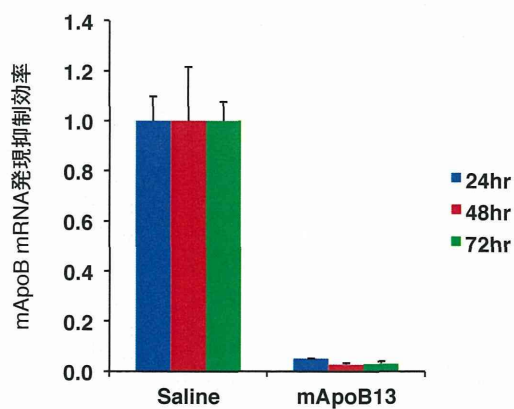
【図表62】 マイクロアレイの解析結果(マウス細胞)
 - mPCSK9-13とミスマッチを許容して相補結合するmRNAの発現変動 -



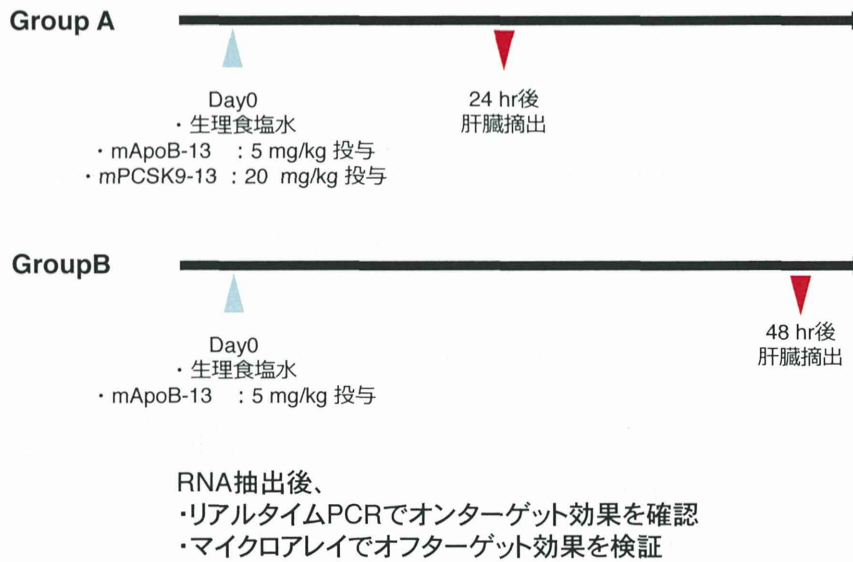
【図表63】 マウス個体を用いたマイクロアレイ解析の条件設定
- mApoB-13 を用いた解析-



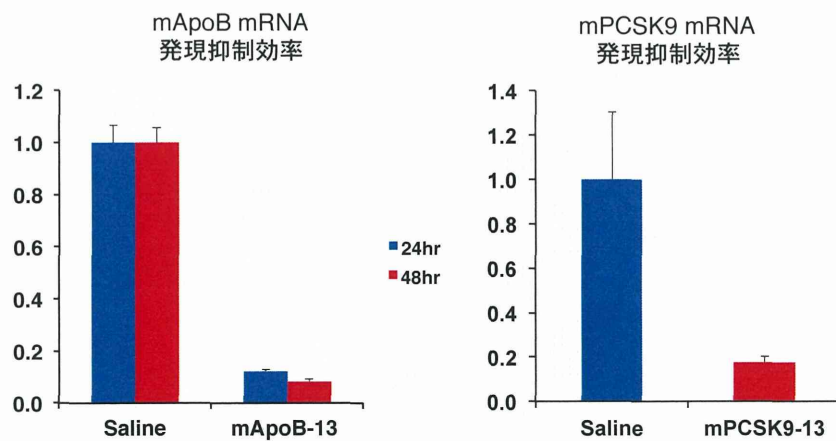
【図表64】 マウス個体を用いたマイクロアレイ解析の条件設定
- mApoB-13 を用いた解析(結果)-



【図表65】 マイクロアレイ解析(マウス個体)の条件設定
-オンターゲット遺伝子の抑制効果の確認-



【図表66】 マイクロアレイ解析(マウス個体)の条件設定
-オンターゲット遺伝子の抑制効果の確認(結果)-



【図表67】

マイクロアレイの解析結果(マウス個体-24h)

- mApoB-13とミスマッチを許容して相補結合するmRNAの発現変動 -

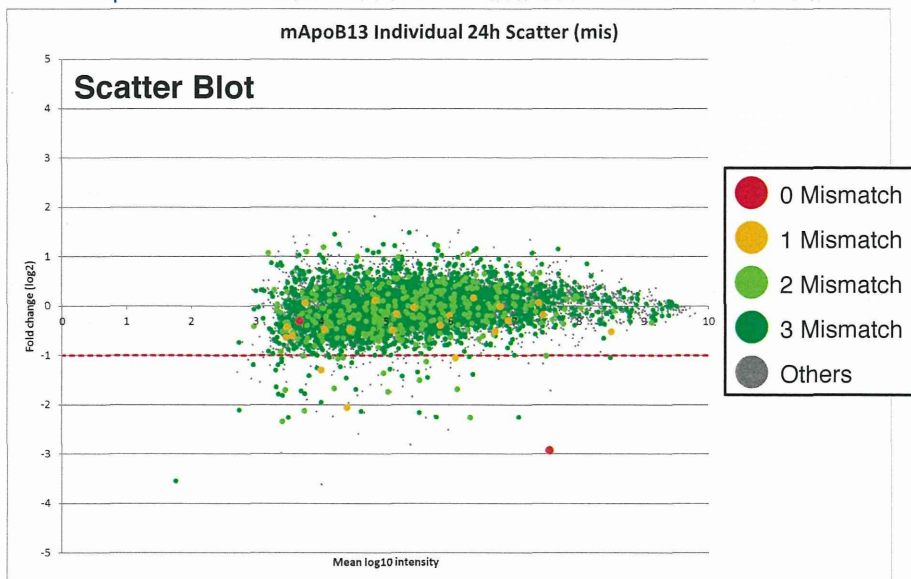
mApoB-13	Mismatch				Other	Total
	0	1	2	3		
1. In Silico Analysis	2	37	650	5535	17367	26721
2. On Array	2	34	551	4402	13652	21089
3. Present	2	22	348	2617	6592	11127
4. Varied	1	7	119	821	1756	3152
5. Down Regulated	1	3	13	24	49	113
6. Percentage	50.0	13.6	3.7	0.9	0.7	1.0

数値の解釈は図表22と同様である

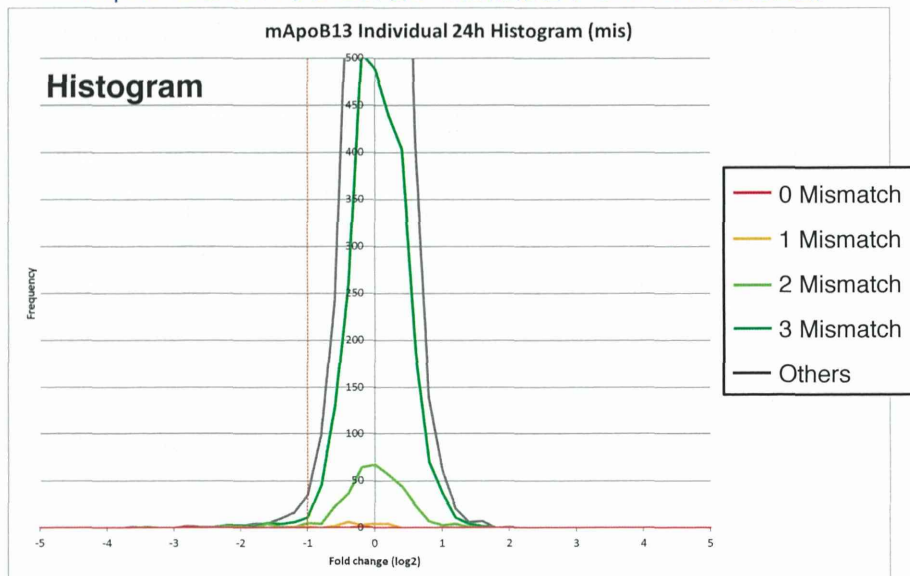
【図表68】

マイクロアレイの解析結果(マウス個体-24h)

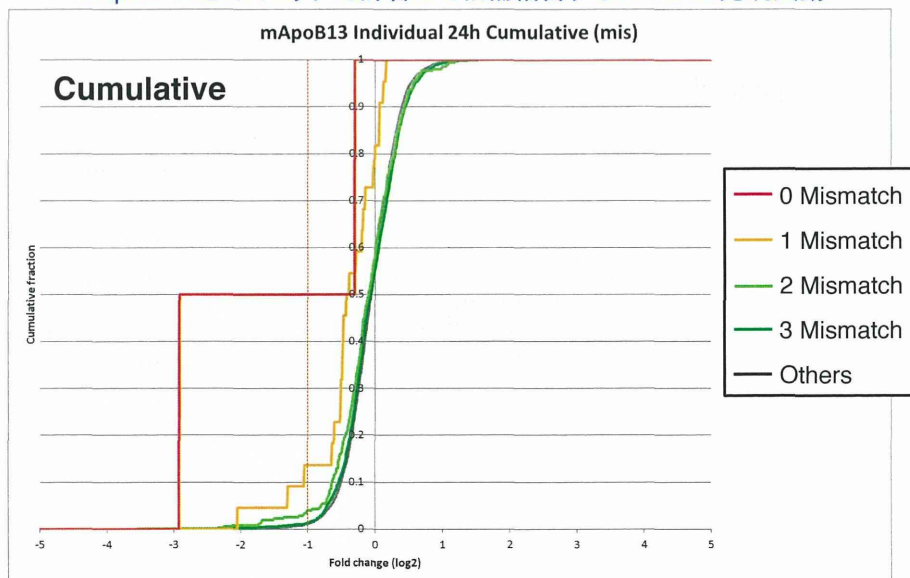
- mApoB-13とミスマッチを許容して相補結合するmRNAの発現変動 -



【図表69】 マイクロアレイの解析結果(マウス個体-24h)
 - mApoB-13とミスマッチを許容して相補結合するmRNAの発現変動 -



【図表70】 マイクロアレイの解析結果(マウス個体-24h)
 - mApoB-13とミスマッチを許容して相補結合するmRNAの発現変動 -



【図表71】

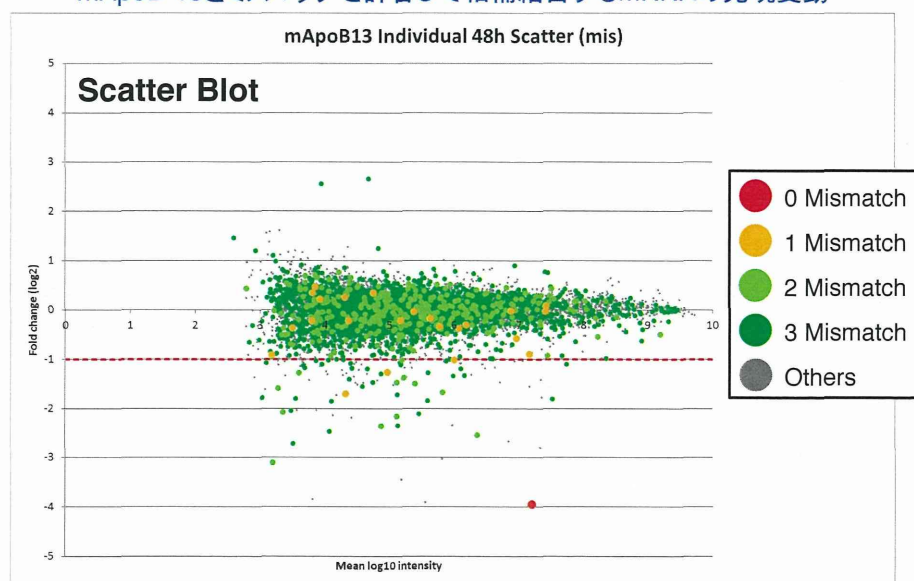
マイクロアレイの解析結果(マウス個体-48h)
 - mApoB-13とミスマッチを許容して相補結合するmRNAの発現変動 -

mApoB-13	Mismatch				Other	Total
	0	1	2	3		
1. In Silico Analysis	2	37	650	5535	17367	26721
2. On Array	2	34	551	4402	13652	21089
3. Present	1	23	349	2656	6644	11214
4. Varied	1	6	90	523	1026	1921
5. Down Regulated	1	3	11	19	44	99
6. Percentage	100	13.0	3.2	0.7	0.7	0.9

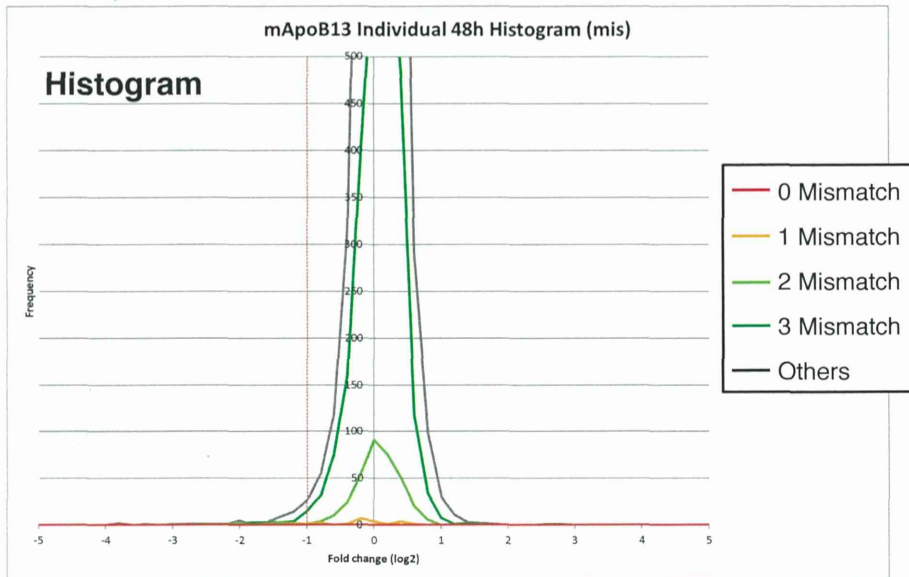
数値の解釈は図表22と同様である

【図表72】

マイクロアレイの解析結果(マウス個体-48h)
 - mApoB-13とミスマッチを許容して相補結合するmRNAの発現変動 -



【図表73】 マイクロアレイの解析結果(マウス個体-48h)
 - mApoB-13とミスマッチを許容して相補結合するmRNAの発現変動 -



【図表74】 マイクロアレイの解析結果(マウス個体-48h)
 - mApoB-13とミスマッチを許容して相補結合するmRNAの発現変動 -

